

УДК 547.742

P.L. Martjak^a, A.M. Grozav^b, N.D. Yakovychuk^b, V.V. Kinzhibal^c, V.S. Matiychuk^a

СИНТЕЗ ТА ПРОТИМІКРОБНА АКТИВНІСТЬ ПОХІДНИХ ЕСТЕРІВ 4-R-БЕНЗИЛПІРОЛ-3-КАРБОНОВОЇ КИСЛОТИ

^a Львівський національний університет імені Івана Франка, м. Львів, Україна

^b Вищий державний навчальний заклад України «Буковинський державний медичний університет», м. Чернівці, Україна

^b Інститут низьких температур і структурних досліджень, Польська академія наук, м. Вроцлав, Польща

Взаємодією 3-арил-2-хлоропропаналів (Іа–d) з β -кетоестерами (метил- і етилацетатами, бензоїлоцтовим естером) та аміаком за методом Ганча синтезовано 4-R-бензилзаміщені піроли (ІІа–f), які за реакцією Вільсмайєра-Хаака перетворено у відповідні 5-форміл-4-R-бензил-1H-пірол-3-карбоксилати (ІVа–e). Одержано продукти конденсації цих альдегідів з тіосемікарбазидами та зі сполуками, що містять активні метиленові групи (метил- та етилціаноацетатами, малонодинітрилом, ціанацетамідом, ціантіоацетамідом, 5-метил-2,4-дигідропіразол-3-оном та дімедоном). Будову усіх синтезованих речовин доведено за допомогою ^1H ЯМР спектроскопії. Молекулярну структуру сполуки (XІІb) також підтверджено рентгеноструктурними дослідженнями. Результати мікробіологічних досліджень засвідчили високу активність синтезованих речовин стосовно референс-штаму гриба *Candida krusei* ATCC 6258, зокрема мінімальна фунгіцидна концентрація для сполук (ІІІd), (Xb), (XIV) становить 7,81 мкг/мл, що прирівнюється до відповідної величини протигрибкового засобу біфоназолу. Отримані результати є важливими у пошуку сполук-лідерів для дизайну нових antimікробних препаратів.

Ключові слова: 3-арил-2-хлоропропаналі, реакція Ганча, реакція Вільсмайєра-Хаака, естери пірол-3-карбонових кислот, реакції конденсації, протимікробна активність.

DOI: 10.32434/0321-4095-2020-132-5-36-45

Вступ

Розробка ефективних методів дизайну комбінаторних бібліотек азагетероциклічних сполук і скринінг їх біологічної активності становлять одну з важливих прикладних завдань органічної та медичної хімії. Успіх в реалізації цього процесу значною мірою залежить від доступності вихідних реагентів, що дозволяють варіювати радикали в широких межах. До таких, безумовно, належать діазонієві солі, які легко можна отримати з комерційно доступних ароматичних амінів. У попередніх роботах ми розробили універсальні методи дизайну похідних піролу [1,2], тіазолу [3,4], триазолу [5–7], піразолу [8], тіадіазолу та оксадіазолу [7] з їх використанням. В даній роботі нами здійснено синтез комбінаторної бібліотеки естерів 4-бензилпірол-3-карбоно-

вої кислоти та проведено скринінг їх протимікробних властивостей. Особливістю будови вищезгаданих молекул є наявність прив'язованого каркасу [9], що говорить про високу ймовірність їх біологічної дії. Також слід зазначити, що пірол та його похідні належать до одного з найбільш численних і важливих у практичному відношенні класів гетероциклічних сполук. Вони широко розповсюджені у природі, де мають надзвичайно важливе значення у багатьох ключових процесах життєдіяльності. Серед монопірольних природних продуктів варто виокремити порфобіліноген – біосинтетичний попередник природних пірольних пігментів, пролін і гідроксипролін – амінокислоти білків, гігрин, кускгігрин, стахідрин – алкалойди групи піролідину. Багато монопірольних похідних, що мають властивості

антибіотиків, виділено з мікроорганізмів, рослин та вищих організмів (піолютеорин, піролнітрин). Важливими природними сполуками, що містять декілька пірольних ядер, є продігіозини – трипірольні антибіотики, пігменти жовчі (білірубін), хлорофіли, гем, вітаміни групи B_{12} , ферменти (пероксидази, каталази). Практично цінними синтетичними похідними піролу є барвники – фталоціаніни й фармацевтичні препарати – пірацетам, каптоприл, тавегіл, тощо [10–12].

Пошук нових лікарських засобів серед похідних піролу не припиняється; в останнє десятиліття серед похідних піролу знайдено речовини з протимікробною, противірусною, протіпухлинною, протизапальною антиковульсантною та іншими видами активності [10–12]. Окремо слід відзначити, що функціоналізовані піроли володіють високою реакційною здатністю, і тому їх широко використовують в дизайні комбінаторних бібліотек органічних сполук для біологічного скринінга.

Результати та обговорення

Взаємодією 3-арил-2-хлоропропаналів (**Ia–d**), що легко одержуються хлорариллюванням акролеїну арендазонієвими солями [3] з 1,3-дикарбонільними сполуками (**IIa–c**) – метилацетоацетатом (**IIa**), ацетооцтовим (**IIb**) та бензоїлоцтовим (**IIc**) естерами – у спирті і в присутності водного аміаку, в умовах реакції Ганча, одержано серію піролів (**IIIa–f**) (схема 1).

Застосовуючи метод формілювання Вільсмеєра-Хаака, ми одержали з високими виходами піролкарбальдегіди (**IVa–e**) (схема 1). Виявилось, що альдегіди (**IVa–e**) легко вступа-

ють у реакції конденсації, зокрема зі сполуками з активними метиленовими групами, що показано на прикладі їх взаємодії з ціаноцтвою кислотою (**Va**) та її похідними – етилцианоацетатом (**Vb**), малонодинітрилом (**VII**), ціанацетамідом (**IXa**) та тіоцианацетамідом (**IXb**). В результаті згаданих реакцій одержали сполуки (**VIIa, b**, **VIII**, **Xa, b**) (схема 2). Альдегіди (**IVa–e**) також реагують з деякими гетероциклічними сполуками, що містять у своїй структурі метиленовий фрагмент, зокрема з 5-метил-2,4-дигідро-3Н-піразол-3-оном (**XI**), утворюючи відповідні похідні (**XIIa, b**) (схема 2). Цікаві результати отримано при вивчені конденсації альдегідів (**IVa–e**) з дімедоном (**XIII**) в крижаній оцтовій кислоті. З реакційного середовища виділили сполуку (**XIV**), що утворилася внаслідок конденсації альдегіду (**IVc**) лише з однією молекулою дімедону. Перспективними, з погляду можливостей проведення подальших перетворень, видаються синтезовані з високими виходами тіосемікарбазони (**XVIa–c**). Реакцію здійснювали шляхом кип'ятіння в спирті вихідних альдегідів з тіосемікарбазидами (**XVa, b**) в присутності каталітичних кількостей піперидину (схема 2).

Молекулярну структуру сполуки (**XIIb**) підтверджено з допомогою рентгеноструктурних досліджень. Аналіз дифракційних даних для її кристалів показав, що вона співкристалізується з оцтовою кислотою. В незалежній частині кристалічної структури знаходяться дві пари адуктів молекул (**XIIb**) і молекул оцтової кислоти. Геометричні параметри обох незалежних частин ідентичні в межах експериментальної похибки.

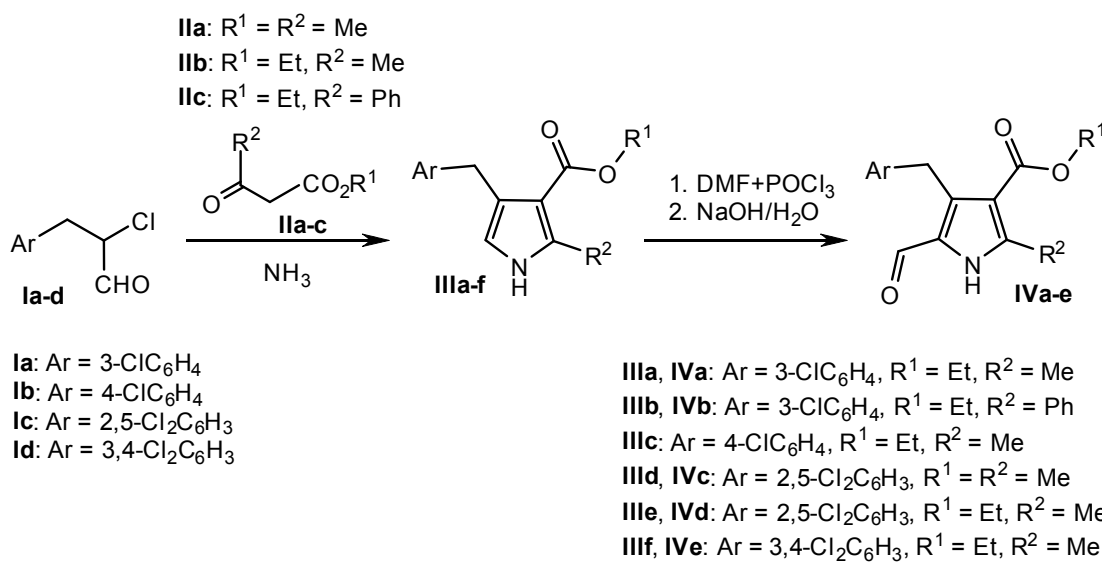


Схема 1. Синтез піролів **IIIa–f** та піролкарбальдегідів **IVa–e**

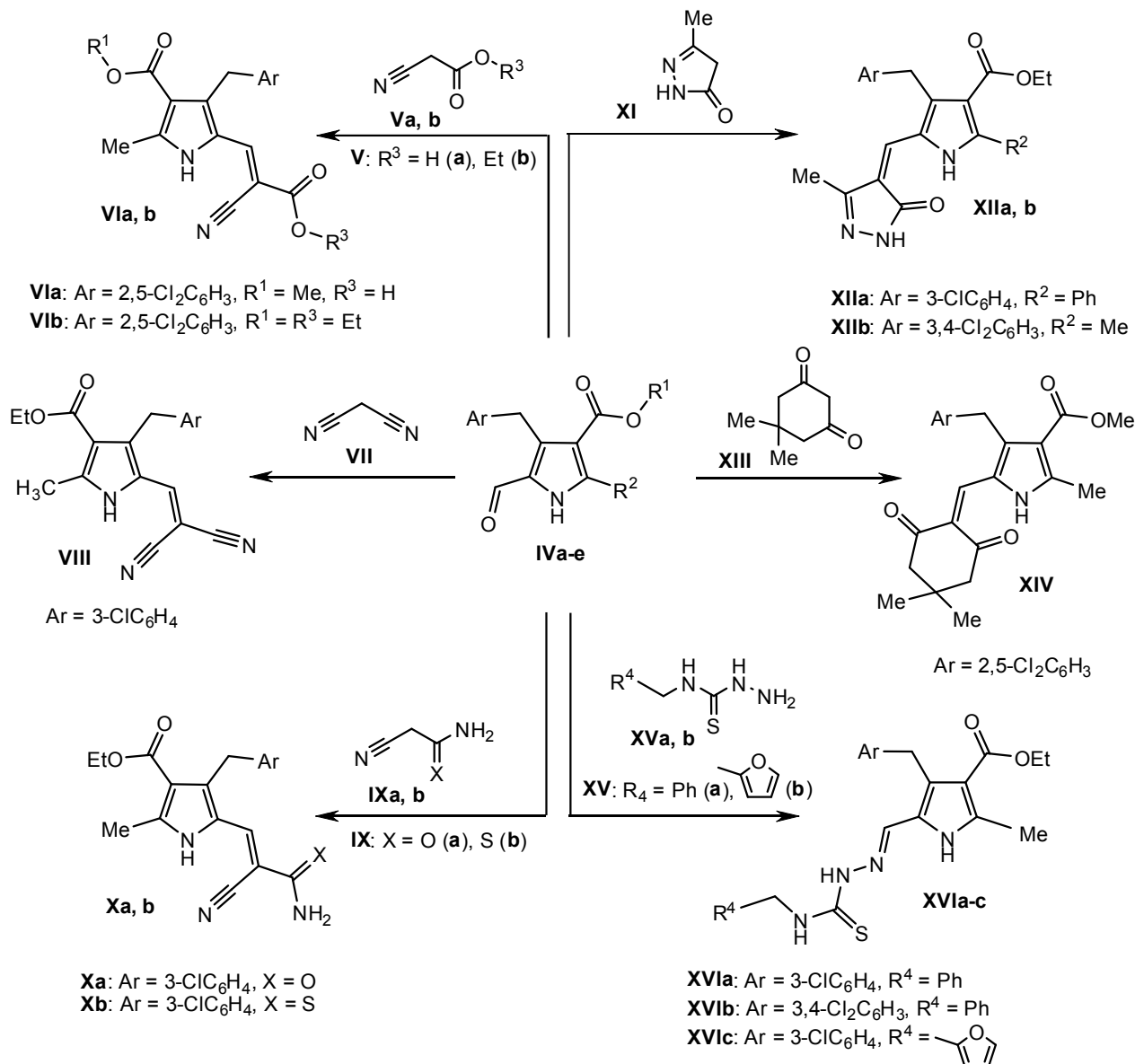


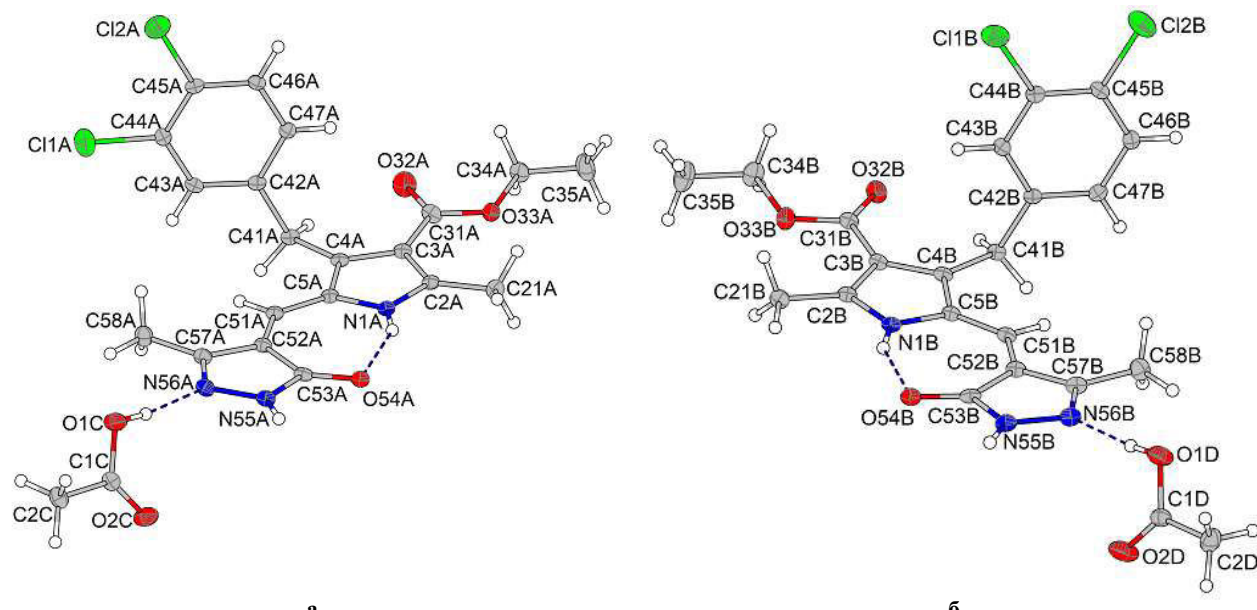
Схема 2. Реакції конденсації 5-форміл-4-R-бензил-1H-пірол-3-карбоксилатів IVa–e

Молекулярна структура адукта наведена на рисунку. У молекулі (XIIb) пірольне і піразолонове кільце лежать практично в одній площині, їх з'єднує внутрішньомолекулярний водневий зв'язок типу N–H...O. Інші замісники також лежать в площині молекули, окрім 3,4-дихлоробензильного, який утворює двогранний кут, близький до 84° з площею молекули.

Антигрибкову та антибактеріальну активність синтезованих речовин оцінювали за величиною мінімальної фунгіцидної та бактерицидної концентрацій (МФЦК та МБЦК) стосовно грибів роду *Candida*, а також деяких грам-позитивних та грам-негативних бактерій. Мікро-

біологічні дослідження дали можливість встановити, що синтезовані сполуки характеризуються протимікробною дією в широкому діапазоні концентрацій 7,81–500 мкг/мл (табл. 1).

При аналізі результатів встановлено, що протимікробна активність стосовно референс-штаму грам-позитивних бактерій *S. aureus* 209 та *B. stenorthermophilus* 718 залежить від структури досліджуваних похідних піролу, а саме по відношенню до штаму *S. aureus* 209 найвищу активність проявила сполука (Xb), її МБСК та МБЦК становлять 7,81 мкг/мл, а стосовно штаму *B. stenorthermophilus* 718 – сполука (VIII): МБСК становить 3,91 мкг/мл, а МБЦК – 7,81 мкг/мл.



Молекулярна структура обох незалежних частин (а і б) адукта етил 4-(3,4-дихлоробензил)-2-метил-5-[*Z*)-(3-метил-5-оксо-1,5-дигідро-4*H*-піразол-4-іліден)метил]-1*H*-пірол-3-карбоксилату (XIIb) з оцтовою кислотою.

Показано положення тільки тих невпорядкованих атомів, що мають більші параметри заселеності позицій

Таблиця 1

Протимікробна та протигрибкова активність синтезованих сполук

Сполучки	Тестові культури мікроорганізмів									
	<i>S. aureus</i> 209		<i>B. stearothermophilus</i> 718		<i>S. typhimurium</i> 441		<i>C. albicans</i> ATCC 885/653		<i>C. krusei</i> ATCC 6258	
	Концентрація препаратів (мкг/мл)									
IIIc	31,25	31,25	62,5	125	125	125	31,25	31,25	15,62	15,62
IIId	31,25	31,25	250	250	250	500	15,62	31,25	7,81	7,81
IIIIf	31,25	62,5	7,81	15,62	62,5	62,5	31,25	31,25	31,25	31,25
VIIa	62,5	125	62,5	62,5	62,5	62,5	62,5	62,5	15,62	15,62
VIIb	62,5	62,5	62,5	62,5	62,5	62,5	31,25	31,25	15,62	15,62
VIII	31,25	62,5	3,91	7,81	62,5	62,5	62,5	62,5	15,62	15,62
Xa	62,5	62,5	62,5	125	250	250	15,62	62,5	31,25	31,25
Xb	7,81	7,81	15,62	15,62	62,5	62,5	15,62	31,25	7,81	7,81
XIIa	31,25	62,5	15,62	31,25	31,25	62,5	31,25	62,5	31,25	31,25
XIIb	62,5	62,5	31,25	62,5	62,5	62,5	62,5	62,5	31,25	31,25
XIV	31,25	62,5	62,5	62,5	62,5	62,5	31,25	62,5	7,81	7,81
XVIa	62,5	62,5	31,25	62,5	250	500	31,25	62,5	15,62	15,62
XVIb	31,25	62,5	31,25	31,25	31,25	62,5	31,25	31,25	15,62	15,62
XVIc	31,25	62,5	15,62	62,5	62,5	125	31,25	62,5	31,25	31,25
*Б	1,95	7,81	0,97	3,9	62,5	125	15,62	62,5	7,81	7,81

Примітка: * — Б як контроль використовували препарат «Біфоназол». Розчин для зовнішнього застосування 1% по 15 мл у флаконах «Tropon GmbH», «Bayer AG» та «Bayer HealthCare AG», Іспанія/Німеччина.

Результати, які отримані при тестуванні синтезованих речовин за відношенням до штамів *S. typhimurium* 441 та *C. albicans* ATCC 885/653, дозволяють зробити висновок, що введення тих чи інших структурних фрагментів у молекулу піролу, суттєво не впливає на протимікробну ак-

тивність досліджуваних похідних і вона залишається помірною.

Особливий інтерес виявляють результати, отримані при тестуванні на фунгіцидну активність по відношенню до референс-штаму гриба *Candida krusei* ATCC 6258, оскільки ос-

тannій володіє природною стійкістю до флуко- назолу, а смертність від фунгемій викликаних ним, значно вища в порівнянні з *Candida albicans* [13]. Встановлено, що МФцК для сполук (III d), (X b), (XIV) становить 7,81 мкг/мл, що при- рівнюється до МФцК протигрибкового засобу біфоназолу, який був використаний як контроль. Таким чином, отримані дані видаються особливо цікавими у контексті подальших поглиблених досліджень.

Експериментальна хімічна частина

Температури плавлення синтезованих сполук визначали у відкритих капілярних трубках на електротермічному приладі ПТП-М і не корегували. Спектри ЯМР ^1H записували на приладах Varian Mercury (400 МГц) (сполуки (IV a , d), (VI a , b), (VIII), (X a , b), (XIV), (XVI a , c)) та Bruker DRX500 (500 МГц) (сполуки (III b), (IV b , c, e), (XII a , b), (XVII b)), розчинники – ДМСО- d_6 та ДМСО- d_6 +CCl₄. Спектри ЯМР ^{13}C сполук (III b), (IV c) записували на приладі Varian Mercury (100 МГц), розчинник – CDCl₃. Хімічні зміщення (d, м.ч.) наведено стосовно сигналу розчинника, константи спін-спінової взаємодії зазначено у герцах.

3-Арил-2-хлоропропаналі (I $a-d$) отримували хлорарилюванням акролеїну діазонієвими солями за методикою [3].

Алкіл 4-бензил-2-метил(феніл)-1Н-пірол-3-карбоксилати (III $a-f$) отримували за методикою [2]. Характеристики сполук (III a , c-f) наведено у працях [1,2].

Етил 2-феніл-4-(3-хлоробензил)-1Н-пірол-3-карбоксилат (III b)

Вихід 44%. Білі кристали, T_{пл.} 120–121 $^\circ\text{C}$ (EtOH). ЯМР ^1H δ: 1,01 т (3Н, J=7,0, CH₃CH₂O), 3,98 к (2Н, J=7,0, CH₃CH₂O), 4,01 с (2Н, CH₂), 6,65 д (1Н, J=2,0, 5-H), 7,12–7,40 м (7Н, ArH), 7,46 д (2Н, J=7,5, ArH), 11,46 ш.с (1Н, NH). ЯМР ^{13}C δ: 14,0 (CH₂CH₃), 32,8 (CH₂), 59,5 (CH₂CH₃), 110,6 (C_{Pyrr}-4), 117,4 (C_{Pyrr}-5), 125,3 (C_{Ar}), 125,8 (C_{Pyrr}-3), 127,0 (C_{Ar}), 127,9 (C_{Ar}), 128,0 (C_{Ar}), 128,8 (C_{Ar}), 129,0 (C_{Ar}), 129,3 (C_{Ar}), 132,7 (C_{Pyrr}-2), 133,8 (C_{Ar}), 138,0 (C_{Ar}-Cl), 143,7 (C_{Ar}-1), 165,4 (COO). Знайдено, %: C 70,67; H 5,40; N 4,08. C₂₀H₁₈ClNO₂. Обчислено, %: C 70,69; H 5,34; N 4,12.

Загальна методика синтезу альдегідів піролів (IV $a-e$)

Реакцію проводили в 250 мл круглодонній тришайковій колбі, спорядженої механічною мішалкою, крапельною лійкою, термометром і зворотним холодильником. До 17 г свіжопереганого ДМФА додавали краплями, за інтен-

сивного перемішування та охолодження (0–5 $^\circ\text{C}$) 7,15 г POCl₃. Після цього до отриманого розчину за кімнатної температури додавали невеликими частинами відповідний пірол (III $a,b,d-f$). Реакційну суміш витримували ще 1,5 год при 80 $^\circ\text{C}$, охолоджували і виливали у 20%-ний водний розчин NaOH. Осад, що утворився, перемішували 1 год, відфільтровували, промивали водою, сушили і перекристалізували з суміші етанол-ДМФА, 10:1.

Етил 2-метил-5-форміл-4-(3-хлоробензил)-1Н-пірол-3-карбоксилат (IV a)

Вихід 85%. Білі кристали, T_{пл.} 145 $^\circ\text{C}$. ЯМР ^1H δ: 1,23 т (3Н, J=7,0, CH₃CH₂O), 2,47 с (3Н, CH₃), 4,15 к (2Н, J=7,0, CH₃CH₂O), 4,36 с (2Н, CH₂), 7,03–7,10 м (2Н, ArH), 7,14–7,20 м (2Н, ArH), 9,59 с (1Н, CHO), 12,22 ш.с (1Н, NH). Знайдено, %: C 62,78; H 5,21; N 4,51. C₁₆H₁₆ClNO₃. Обчислено, %: C 62,85; H 5,27; N 4,58.

Етил 2-феніл-5-форміл-4-(3-хлоробензил)-1Н-пірол-3-карбоксилат (IV b)

Вихід 76%. Білі кристали, T_{пл.} 134–135 $^\circ\text{C}$. ЯМР ^1H δ: 0,99 т (3Н, J=7,0, CH₃CH₂O), 4,03 к (2Н, J=7,0, CH₃CH₂O), 4,45 с (2Н, CH₂), 7,16–7,32 м (4Н, C₆H₄), 7,40–7,45 м (3Н, C₆H₅), 7,50–7,55 м (2Н, C₆H₅), 9,83 с (1Н, CHO), 12,64 ш.с (1Н, NH). Знайдено, %: C 68,48; H 4,89; N 3,77. C₂₁H₁₈ClNO₃. Обчислено, %: C 68,57; H 4,93; N 3,81.

Метил 4-(2,5-дихлоробензил)-2-метил-5-форміл-1Н-пірол-3-карбоксилат (IV c)

Вихід 65%. Білі кристали, T_{пл.} 199–200 $^\circ\text{C}$. ЯМР ^1H δ: 2,57 с (3Н, CH₃), 3,65 с (3Н, CH₃O), 4,41 с (2Н, CH₂), 6,78 д (1Н, J=2,5, 6-H C₆H₃), 7,05 д.д (1Н, J=2,5; 8,5, 4-H C₆H₃), 7,24 д (1Н, J=8,5, 3-H C₆H₃), 9,42 с (1Н, CHO), 10,16 ш.с (1Н, NH). ЯМР ^{13}C δ: 9,8 (CH₃), 23,0 (CH₂), 46,3 (CH₃O), 109,2 (C_{Pyrr}-4), 122,8 (C_{Pyrr}-2), 124,3 (C_{Ar}), 124,4 (C_{Ar}), 125,5 (C_{Ar}), 127,0 (C_{Ar}), 128,0 (C_{Pyrr}-5), 129,9 (C_{Pyrr}-3), 135,5 (C_{Ar}-Cl), 139,2 (C_{Ar}-Cl), 160,0 (COO), 173,1 (CHO). Знайдено, %: C 55,13; H 4,04; N 4,35. C₁₅H₁₃Cl₂NO₃. Обчислено, %: C 55,24; H 4,02; N 4,29.

Етил 2-метил-5-форміл-4-(2,5-дихлоробензил)-1Н-пірол-3-карбоксилат (IV d)

Вихід 67%. Білі кристали, T_{пл.} 164–165 $^\circ\text{C}$. ЯМР ^1H δ: 1,10 т (3Н, J=7,0, CH₃CH₂O), 2,53 с (3Н, CH₃), 4,07 к (2Н, J=7,0, CH₃CH₂O), 4,39 с (2Н, CH₂), 6,75 д (1Н, J=2,0, 6-H ArH), 7,13 д.д (1Н, J=2,4; 8,4, 4-H ArH), 7,34 д (1Н, J=8,4, 3-H ArH), 9,50 с (1Н, CHO), 12,38 ш.с (1Н, NH). Знайдено, %: C 56,37; H 4,38; N 4,18. C₁₆H₁₅Cl₂NO₃. Обчислено, %: C 56,49; H 4,44; N 4,12.

Етил 4-(3,4-дихлоробензил)-2-метил-5-форміл-ІН-пірол-3-карбоксилат (IVe)

Вихід 82%. Білі кристали, $T_{\text{пл.}}$ 157–158°C. ЯМР ^1H δ: 1,17 т (3H, $J=7,0$, $\text{CH}_3\text{CH}_2\text{O}$), 2,45 с (3H, CH_3), 4,14 к (2H, $J=7,0$, $\text{CH}_3\text{CH}_2\text{O}$), 4,38 с (2H, CH_2), 7,12 д (1H, $J=8,0$, 6-H ArH), 7,40 с (1H, 2-H ArH), 7,50 д (1H, $J=8,5$, 5-H ArH), 9,69 с (1H, CHO), 12,40 ш.с (1H, NH). Знайдено, %: C 56,55; H 4,49; N 4,07. $\text{C}_{16}\text{H}_{15}\text{Cl}_2\text{NO}_3$. Обчислено, %: C 56,49; H 4,44; N 4,12.

(2E)-3-[3-(2,5-Дихлоробензил)-5-метил-4-(метоксикарбоніл)-ІН-пірол-2-іл]-2-ціаноакриловая кислота (VIa)

Розчиняли за нагрівання 1,01 г (3,1 ммоль) альдегіду (IVc) та 0,26 г (3,1 ммоль) ціаноцтової кислоти (Va) в суміші з 10 мл ізопропанолу та 5 мл ДМФА. До отриманого розчину додавали 2–3 краплі піперидину та кип'ятили близько 2 год, охолоджували, виливали у 25 мл води. Утворений осад відфільтровували та перекристалізовували з суміші етанол–ДМФА, 2:1. Виділили 1,14 г продукту. Вихід 79%. Жовтуваті кристали, $T_{\text{пл.}}$ 237–238°C (розкл.). ЯМР ^1H δ: 2,63 с (3H, CH_3), 3,64 с (3H, CH_3O), 4,26 с (2H, CH_2), 6,67 с (1H, 6-H C_6H_3), 7,18 д (1H, $J=8,0$, 4-H C_6H_3), 7,40 д (1H, $J=8,0$, 3-H C_6H_3), 7,81 с (1H, CH), 11,42 ш.с (1H, NH). ДМФА: 2,77 с (3H, CH_3), 2,93 с (3H, CH_3), 7,90 с (1H, CHO). Знайдено, %: C 53,91; H 4,68; N 8,89. $\text{C}_{18}\text{H}_{14}\text{Cl}_2\text{N}_2\text{O}_4\cdot\text{C}_3\text{H}_7\text{NO}$. Обчислено, %: C 54,09; H 4,54; N 9,01.

Етил 4-(2,5-дихлоробензил)-5-[(IE)-3-етокси-3-оксо-2-ціанопроп-1-ен-1-іл]-2-метил-ІН-пірол-3-карбоксилат (VIb)

Суміш 1,05 г (3,1 ммоль) альдегіду (IVd), 0,35 г (3,1 ммоль) етилціаноацетату (Vb), 2–3 краплі триетиламіну в 15 мл етанолу кип'ятили 1 год, охолоджували, утворений осад відфільтровували та промивали на фільтрі етанолом. Виділили 0,97 г продукту. Вихід 72%. Жовті кристали, $T_{\text{пл.}}$ 217–218°C. ЯМР ^1H δ: 1,15 т (3H, $J=7,0$, $\text{CH}_3\text{CH}_2\text{O}_{\text{Pyr}}$), 1,35 т (3H, $J=7,0$, $\text{CH}_3\text{CH}_2\text{O}$), 2,67 с (3H, CH_3), 4,12 к (2H, $J=7,0$, $\text{CH}_3\text{CH}_2\text{O}_{\text{Pyr}}$), 4,20–4,32 м (4H, $\text{CH}_3\text{CH}_2\text{O}$ і CH_2), 6,73 с (1H, 6-H C_6H_3), 7,14 д (1H, $J=8,4$, 4-H C_6H_3), 7,35 д (1H, $J=8,4$, 3-H C_6H_3), 7,83 с (1H, CH), 11,31 ш.с (1H, NH). Знайдено, %: C 58,03; H 4,57; N 6,57. $\text{C}_{21}\text{H}_{20}\text{Cl}_2\text{N}_2\text{O}_4$. Обчислено, %: C 57,94; H 4,63; N 6,44.

Етил 5-(2,2-дициановініл)-2-метил-4-(3-хлоробензил)-ІН-пірол-3-карбоксилат (VII)

Розчиняли при нагріванні 1 г (3,3 ммоль) альдегіду (IVa) і 0,22 г (3,3 ммоль) малонодинітрилу (VII) в 10 мл етанолу. До одержаного розчину додавали 2–3 краплі піперидину. Майже

одразу почав утворюватися осад. Суміш кип'ятили ще 30 хв, охолоджували, осад відфільтровували і перекристалізовували з етанолу. Маса продукту 0,7 г. Вихід 60%. Блідо-жовті кристали, $T_{\text{пл.}}$ 167–168°C. ЯМР ^1H δ: 1,23 т (3H, $J=7,2$, $\text{CH}_3\text{CH}_2\text{O}$), 2,61 с (3H, CH_3), 4,16 к (2H, $J=7,2$, $\text{CH}_3\text{CH}_2\text{O}$), 4,28 с (2H, CH_2), 6,97 д (1H, $J=8,8$, 6-H C_6H_4), 7,09 д (1H, $J=9,6$, 4-H C_6H_4), 7,12 с (1H, 2-H C_6H_4), 7,17 т (1H, $J=7,4$, 5-H C_6H_4), 8,03 с (1H, CH), 11,42 ш.с (1H, NH). Знайдено, %: C 64,41; H 4,49; N 11,97. $\text{C}_{19}\text{H}_{16}\text{ClN}_3\text{O}_2$. Обчислено, %: C 64,50; H 4,56; N 11,88.

Етил 5-[(IE)-3-аміно-3-оксо-2-ціанопроп-1-ен-1-іл]-2-метил-4-(3-хлоробензил)-ІН-пірол-3-карбоксилат (Xa)

Суміш 0,95 г (3,1 ммоль) альдегіду (IVa), 0,26 г (3,1 ммоль) ціанацетаміду (IXa) та 2–3 краплі триетиламіну в 10 мл етанолу кип'ятили 1 год, охолоджували, утворений осад відфільтровували та перекристалізовували з суміші етанол–ДМФА, 3:1. Виділили 0,75 г продукту. Вихід 65%. Жовтуваті кристали, $T_{\text{пл.}}$ 231–232°C. ЯМР ^1H δ: 1,22 т (3H, $J=7,0$, $\text{CH}_3\text{CH}_2\text{O}$), 2,59 с (3H, CH_3), 4,15 к (2H, $J=7,0$, $\text{CH}_3\text{CH}_2\text{O}$), 4,24 с (2H, CH_2), 6,98 д (1H, $J=8,0$, 6-H C_6H_4), 7,07 д (1H, $J=8,0$, 4-H C_6H_4), 7,11 с (1H, 2-H C_6H_4), 7,17 т (1H, $J=8,0$, 5-H C_6H_4), 7,34 ш.с (2H, NH_2), 7,93 с (1H, CH), 11,00 ш.с (1H, NH). Знайдено, %: C 61,29; H 4,82; N 11,23. $\text{C}_{19}\text{H}_{18}\text{ClN}_3\text{O}_3$. Обчислено, %: C 61,38; H 4,88; N 11,30.

Етил 5-[(IE)-3-аміно-3-тіоксо-2-ціанопроп-1-ен-1-іл]-2-метил-4-(3-хлоробензил)-ІН-пірол-3-карбоксилат (Xb)

Суміш 0,95 г (3,1 ммоль) альдегіду (IVa), 0,31 г (3,1 ммоль) тіоцианацетаміду (IXb) та 2–3 краплі триетиламіну в 15 мл етанолу кип'ятили 1,5 год, охолоджували, утворений осад відфільтровували та перекристалізовували з етанолу. Виділили 0,85 г продукту. Вихід 71%. Світло-коричневі кристали, $T_{\text{пл.}}$ 158–159°C. ЯМР ^1H δ: 1,23 т (3H, $J=7,2$, $\text{CH}_3\text{CH}_2\text{O}$), 2,60 с (3H, CH_3), 4,15 к (2H, $J=7,2$, $\text{CH}_3\text{CH}_2\text{O}$), 4,26 с (2H, CH_2), 6,98–7,25 м (5H, NH_2 і ArH), 8,15 с (1H, CH), 10,60 ш.с (1H, NH). Знайдено, %: C 58,72; H 4,62; N 10,88. $\text{C}_{19}\text{H}_{18}\text{ClN}_3\text{O}_2\text{S}$. Обчислено, %: C 58,83; H 4,68; N 10,83.

Етил 5-[(Z)-(3-метил-5-оксо-1,5-дигідро-4Н-піразол-4-ілiden)метил]-2-феніл-4-(3-хлоробензил)-ІН-пірол-3-карбоксилат (XIIa)

Суміш 1,1 г (3 ммоль) альдегіду (IVb), 0,29 г (3 ммоль) піразолону (XI) і 0,25 г (3 ммоль) безводного AcONa в 15 мл крижаної оцтової кислоти кип'ятили 4 год. Після цього реакційну суміш охолоджували і залишали за кімнатної

температури на добу. Осад, що утворився, відфільтровували, сушили і перекристалізовували з АсОН. Отримали 1,1 г продукту. Вихід 82%. Оранжеві кристали, $T_{\text{пл.}}$ 153–154°C. ЯМР ^1H δ: 1,05 т (3H, $J=7,0$, $\text{CH}_3\text{CH}_2\text{O}$), 2,19 с (3H, CH_3), 2,50 с (3H, CH_3 _{Pyrazole}), 4,09 к (2H, $J=7,0$, $\text{CH}_3\text{CH}_2\text{O}$), 4,47 с (2H, CH_2), 7,14–7,34 м (4H, C_6H_5 і C_6H_4), 7,45–7,70 м (6H, C_6H_5 і C_6H_4 і CH), 11,60 с (1H, NH _{Pyrazole}), 15,20 с (1H, NH). Знайдено, %: C 66,91; H 4,90; N 9,29. $\text{C}_{25}\text{H}_{22}\text{ClN}_3\text{O}_3$. Обчислено, %: C 67,04; H 4,95; N 9,38.

Етил 4-(3,4-дихлоробензил)-2-метил-5-[(Z) - $(3$ -метил-5-оксо-1,5-дигідро-4Н-піразол-4-іліден)-метил]-ІН-пірол-3-карбоксилат (XIIb)

Синтезували з альдегіду (IVe) за методикою сполуки (XIIa). Вихід 86%. Оранжеві кристали, $T_{\text{пл.}}$ 217–218°C. ЯМР ^1H δ: 1,18 т (3H, $J=7,0$, $\text{CH}_3\text{CH}_2\text{O}$), 2,16 с (3H, CH_3), 2,56 с (3H, CH_3 _{Pyrazole}), 4,15 к (2H, $J=7,0$, $\text{CH}_3\text{CH}_2\text{O}$), 4,42 с (2H, CH_2), 7,08 д (1H, $J=8,5$, 6-H C_6H_3), 7,40 с (1H, 2-H C_6H_3), 7,49 д (1H, $J=8,5$, 5-H C_6H_3), 7,52 с (1H, CH), 11,53 с (1H, CH), 11,92 ш.с (1H, NH _{Pyrazole}), 14,72 с (1H, NH). АсОН: 1,91 с (3H, CH_3). Знайдено, %: C 55,17; H 4,91; N 8,68. $\text{C}_{20}\text{H}_{19}\text{Cl}_2\text{N}_3\text{O}_3 \cdot \text{C}_2\text{H}_4\text{O}_2$. Обчислено, %: C 55,01; H 4,83; N 8,75.

Етил 5-[$(4,4$ -диметил-2,6-діоксоциклогексиліден)метил]-4-(2,5-дихлоробензил)-2-метил-ІН-пірол-3-карбоксилат (XIV)

Суміш 1,01 г (3,1 ммоль) альдегіду (IVc) та 0,87 г (6,2 ммоль) дімедону (XIII) в 10 мл оцтової кислоти кип'ятили близько 2 год, залишали на ніч за кімнатної температури, після чого додавали 20 мл води. Утворений осад відфільтровували та перекристалізовували з суміші етанол–ДМФА, 3:1. Виділили 0,93 г продукту. Вихід 67%. Жовті кристали, $T_{\text{пл.}}$ 181–182°C. ЯМР ^1H δ: 1,05 с (6H, 2г CH_3), 2,47 с (3H, CH_3 _{Pyr}), 2,61 с (2H, CH_2), 2,69 с (2H, CH_2), 3,69 с (3H, CH_3O), 4,40 с (2H, $\text{CH}_{2\text{Bz}}$), 6,63 с (1H, 6-H C_6H_3), 7,19 д (1H, $J=8,0$, 4-H C_6H_3), 7,42 д (1H, $J=8,0$, 3-H C_6H_3), 7,83 с (1H, CH), 13,76 ш.с (1H, NH). Знайдено, %: C 61,49; H 5,11; N 3,19. $\text{C}_{23}\text{H}_{23}\text{Cl}_2\text{NO}_4$. Обчислено, %: C 61,62; H 5,17; N 3,12.

Загальна методика синтезу тіосемікарбазонів (XVIa–c)

Суміш 3,3 ммоль відповідного альдегіду (IVa, e), 3,3 ммоль 4-бензил(2-фурил)тіосемікарбазиду (XVa, b) та 2–3 краплі піперидину в 15 мл етанолу кип'ятили близько 2 год, охолоджували, утворений осад відфільтровували і промивали на фільтрі етанолом. Сполуку (XVIb) перекристалізовували з суміші DMF–EtOH, 1:1.

Етил 5-[(E)-{[$(\text{бензиламіно})\text{карбонотійл}]\text{гідрозино}(\text{метил})}-4-(3,4-дихлоро-бензил)-2-метил-ІН-пірол-3-карбоксилат (XVIa)$

Вихід 92%. Світло-жовті кристали, $T_{\text{пл.}}$ 210–211°C. ЯМР ^1H δ: 1,24 т (3H, $J=7,2$, $\text{CH}_3\text{CH}_2\text{O}$), 2,48 с (3H, CH_3), 4,09 с (2H, CH_2), 4,15 к (2H, $J=7,2$, $\text{CH}_3\text{CH}_2\text{O}$), 4,92 д (2H, $J=5,6$, CH_2NH), 7,04–7,10 м (2H, ArH), 7,12–7,23 м (3H, ArH), 7,27–7,37 м (4H, ArH), 8,05 с (1H, CH), 8,66 т (1H, $J=6,0$, NHCH_2), 11,27 ш.с (1H, NH), 11,31 ш.с (1H, NH). Знайдено, %: C 61,34; H 5,41; N 12,03. $\text{C}_{24}\text{H}_{25}\text{ClN}_4\text{O}_2\text{S}$. Обчислено, %: C 61,46; H 5,37; N 11,95.

Етил 5-[(E)-{[$(\text{бензиламіно})\text{карбонотійл}]\text{гідрозино}(\text{метил})}-4-(3,4-дихлоро-бензил)-2-метил-ІН-пірол-3-карбоксилат (XVIIb)$

Вихід 78%. Жовті кристали, $T_{\text{пл.}}$ 214–215°C. ЯМР ^1H δ: 1,17 т (3H, $J=7,0$, $\text{CH}_3\text{CH}_2\text{O}$), 2,51 с (3H, CH_3), 4,07 с (2H, CH_2), 4,11 к (2H, $J=7,0$, $\text{CH}_3\text{CH}_2\text{O}$), 4,93 д (2H, CH_2NH), 7,03–7,10 м (2H, ArH), 7,16–7,36 м (4H, ArH), 7,45–7,53 м (2H, ArH), 8,01 с (1H, CH), 8,43 ш.с (1H, NHCH_2), 11,31 ш.с (1H, NH), 11,52 ш.с (1H, NH). Знайдено, %: C 57,34; H 4,88; N 11,06. $\text{C}_{24}\text{H}_{24}\text{Cl}_2\text{N}_4\text{O}_2\text{S}$. Обчислено, %: C 57,26; H 4,81; N 11,13.

Етил 2-метил-5-[(E)-{[$(2\text{-фурилметил})\text{аміно}\text{карбонотійл}]\text{гідрозино}(\text{метил})}-4-(3-хлоробензил)-ІН-пірол-3-карбоксилат (XVIIc)$

Вихід 93%. Світло-жовті кристали, $T_{\text{пл.}}$ 218–219°C. ЯМР ^1H δ: 1,25 т (3H, $J=6,8$, $\text{CH}_3\text{CH}_2\text{O}$), 2,51 с (3H, CH_3), 4,09 с (2H, CH_2), 4,16 к (2H, $J=6,8$, $\text{CH}_3\text{CH}_2\text{O}$), 4,86 д (2H, $J=6,0$, CH_2NH), 6,29–6,34 м (2H, 3,4-H_{Fur}), 7,04–7,10 м (2H, ArH), 7,13–7,19 м (2H, ArH), 7,40–7,42 м (1H, 5-H_{Fur}), 8,03 с (1H, CH), 8,54 т (1H, $J=6,0$, NHCH_2), 11,31 ш.с (1H, NH), 11,35 ш.с (1H, NH). Знайдено, %: C 57,46; H 5,10; N 12,16. $\text{C}_{22}\text{H}_{23}\text{ClN}_4\text{O}_3\text{S}$. Обчислено, %: C 57,57; H 5,05; N 12,21.

Експериментальна кристалографічна частина

Дифракційні дані для сполуки (XIIb) зібрали на автоматичному дифрактометрі Oxford Diffraction Xcalibur (CCD детектор Atlas) з використанням MoK_a випромінювання ($\lambda=0,71073 \text{\AA}$). Зібрани дифракційні дані опрацьовано з допомогою пакету програм CrysAlis PRO. Кристалічну структуру розв'язано в програмі ShelXT і уточнено методом найменших квадратів в ShelXL. В молекулі а (рисунок) етильна група невпорядкована у двох позиціях з факторами заселення 0,857(5):0,143(5). В молекулі б (рисунок) атом Cl1B невпорядкований у двох позиціях з факторами заселення 0,7747(15):0,2253(15). Кристалографічні дані систематизовано в табл. 2.

Таблиця 2

Вибрані кристалографічні параметри структури (ХІІb)

Брутто-формула	C ₂₂ H ₂₃ Cl ₂ N ₃ O ₅	Властивості кристалу	
Nomer CCDC	1917629	ρ , г/см ³	1,392
Формульна маса, г/моль	480,33	μ , мм ⁻¹	0,322
Температура, К	100,0(2)	F(000)	1000
Довжина хвилі, Å	0,71073	θ_{\max}^0	29,42
Сингонія, просторова група	Триклінна, РІ (2)	Розмір кристалу, мм ³	0,33×0,20×0,06
Параметри комірки		Колір	Оранжевий
a, Å	11,367(4)	Відбиття вимірюні	30325
b, Å	14,183(5)	Відбиття незалежні	10907
c, Å	15,916(5)	Число параметрів, що підлягають уточненню	611
α^0	72,67(3)	S, Goof	1,02
β^0	73,74(3)	Фактори розбіжності ($I>2\sigma(I)$)	R ₁ =0,0445, wR ₂ =0,0888
γ^0	73,31(3)	Фактори розбіжності (усі рефлекси)	R ₁ =0,0777, wR ₂ =0,1020
V, Å ³	2292,6(15)		
Z	4		

Експериментальна біологічна частина

Дослідження протигрибкової та протибактеріальної дії синтезованих сполук проводили із використанням мікрометоду дворазових серійних розведень у рідкому живильному середовищі. Визначали мінімальні бактеріостатичні чи фунгістичні (МБсК, МФсК) концентрації та мінімальні бактерицидні чи фунгіцидні (МБцК, МФцК) концентрації синтезованих похідних піролу щодо референс-штамів бактерій (*S. aureus* 209, *B. steroothermophilus* 718, *S. typhimurium* 441) та грибів (*C. albicans* ATCC 885/653 та *C. krusei* ATCC 6258).

До 96 лункових полістиролових планшетів вносили по 0,05 мл 4-годинної культури мікроорганізмів (для грибів використовували 10⁴ КУО/мл у рідкому середовищі Сабуро, для бактерій в 1 мл м'ясо-пептонного бульйону містилося 10⁵ КУО/мл). Суспензію досліджуваних мікроорганізмів (інокулюму) готували з добової культури. Петлею для посівів відбирали кілька однотипних ізольованих колоній, переносили незначну кількість матеріалу в пробірку із стерильним фізіологічним розчином і за допомогою денситометра (DEN-1 Biosan) одержували суспензію мікроорганізмів у концентрації 1,5×10⁸ КУО/мл, яка відповідає стандарту мутності 0,5 за МакФарландом. Потім, не пізніше 15 хв, десятикратним розведенням в поживному середовищі отримували необхідну робочу мікробну суспензію. Готували розчини дослід

джуваних сполук для мікрометоду серійних розведень (у концентрації 1000 мкг/мл), використовуючи як розчинник диметилсульфоксид. Основні робочі розчини зберігали за температури не вище 20°C. В першу лунку вносили 0,05 мл матричного розчину дослідної речовини, після перемішування переносили по 0,05 мл у наступні лунки першого ряду, в такий спосіб отримували розведення від 500 мкг/мл до 3,9 мкг/мл [14]. Так само здійснювали дослідження у наступних рядах лунок з іншими сполуками. Після цього планшети поміщали в термостат за температури 37°C, інкубували 24 год (для грибів – 28°C, 48 год, відповідно). Найменшу концентрацію досліджуваної речовини, у присутності якої не спостерігали росту культури, приймали за бактеріостатичну (фунгістичну) концентрацію. Досліди проводили паралельно з контролем, а для отримання вірогідних результатів експерименти виконували тричі з кожною концентрацією сполуки та досліджуваною культурою мікроорганізмів.

Висновки

Вперше отримано серію нових 5-форміл-4-R-бензил-1Н-пірол-3-карбоксилатів (ІVa–е) та дослідено їх в реакціях з тіосемікарбазидами і з сполуками, що містять активні метиленові групи. Досліджено протимікробну активність синтезованих речовин. Ідентифіковано сполуки, які за своєю протигрибковою активністю сумірні з препаратом порівняння біфоназолом.

СПИСОК ЛІТЕРАТУРИ

1. *3-Aryl-2-chloropropanals* in Hantzsch synthesis of pyrroles / Matyichuk V.S., Martyak R.L., Obushak N.D., Ostapiuk Yu.V., Pidlypnyi N.I. // Chem. Heterocycl. Compd. – 2004. – Vol.40. – No. 9. – P.1218-1219.
2. *Synthesis* and antitumor activity of 4-benzylpyrrole derivatives / Martyak R., Frolov D., Matyichuk V., Obushak M. // Visnyk Lviv. Univ. Ser. Khim. – 2018. – No.59(2). – P.276-285.
3. *Heterocyclic* syntheses on the basis of arylation products of unsaturated compounds: X. 3-Aryl-2-chloropropanals as reagents for the synthesis of 2-amino-1,3-thiazole derivatives / Obushak N.D., Matiichuk V.S., Vasylyshin R.Ya., Ostapuk Yu.V. // Russ. J. Org. Chem. – 2004. – Vol.40. – No. 3. – P.383-389.
4. A convenient method for the synthesis of 2-[(5-benzyl-1,3-thiazol-2-yl)imino]-1,3-thiazolidin-4-one derivatives / Ostapiuk Y.V., Obushak M.D., Matyichuk V.S., Naskrent M., Gzella A.K. // Tetrahedron Lett. – 2012. – Vol.53. – No. 5. – P.543-545.
5. *Synthesis* and selected transformations of 1-(5-methyl-1-aryl-1H-1,2,3-triazol-4-yl)ethanones and 1-[4-(4-R-5-methyl-1H-1,2,3-triazol-1-yl)phenyl]ethanones / Pokhodlo N.T., Savka R.D., Matiichuk V.S., Obushak N.D. // Russ. J. Gen. Chem. – 2009. – Vol.79. – No. 2. – P.309-314.
6. Pokhodlo N.T., Matyichuk V.S., Obushak M.D. Synthesis of ethyl 4,5-disubstituted 2-azido-3-thiophenecarboxylates and use in the synthesis of thieno[3,2-e][1,2,3]triazolo[1,5-a]-pyrimidin-5(4H)-ones // Tetrahedron. – 2009. – Vol.65. – No. 13. – P.2678-2683.
7. *Synthesis* of heterocycles from arylation products of unsaturated compounds: XVIII. 5-Arylfuran-2-carboxylic acids and their application in the synthesis of 1,2,4-thiadiazole, 1,3,4-oxadiazole, and [1,2,4]triazolo[3,4-b][1,3,4]thiadiazole derivatives / Gorak Yu.I., Obushak N.D., Matiichuk V.S., Lytvyn R.Z. // Russ. J. Org. Chem. – 2009. – Vol.45. – No. 4. – P.541-550.
8. Matiichuk V.S., Potopnyk M.A., Obushak N.D. Molecular design of pyrazolo[3,4-d]pyridazines // Russ. J. Org. Chem. – 2008. – Vol.44. – No. 9. – P.1352-1361.
9. Bemis G.W., Murcko M.A. The properties of known drugs. I. Molecular frameworks // J. Med. Chem. – 1996. – Vol.39. – No. 15. – P.2887-2893.
10. Mohamed M.S., Fathallah S.S. Pyrroles and fused pyrroles: synthesis and therapeutic activities // Mini-Rev. Org. Chem. – 2014. – Vol.11. – No. 4. – P.477-507.
11. Recent synthetic and medicinal perspectives of pyrroles: An overview / Kaur R., Rani V., Abbot V., Kapoor Y., Konar D., Kumar K. // J. Pharm. Chem. Chem. Sci. – 2017. – Vol.1. – No. 1. – P.17-32.
12. *Pyrrole*: a resourceful small molecule in key medicinal hetero-aromatics / Bhardwaj V., Gumber D., Abbot V., Dhiman S., Sharma P. // RSC Adv. – 2015. – Vol.5. – No. 20. – P.15233-15266.

13. The continuous changes in the aetiology and epidemiology of invasive candidiasis: from familiar *Candida albicans* to multiresistant *Candida auris* / Quindos G., Marcos-Arias C., San-Millan R., Mateo E., Eraso E. // Int. Microbiol. – 2018. – Vol.21. – No. 3. – P.107-119.

14. Antifungal activity of 5-(2-nitrovinyl) imidazoles and their derivatives against the causative agents of vulvovaginal candidiasis / Yakovychuk N.D., Deyneka S.Y., Grozav A.M., Humenna A.V., Popovych V.B., Djuriak V.S. // Regul. Mech. Biosyst. – 2018. – Vol.9. – No. 3. – P.369-373.

Надійшла до редакції 30.09.2019

SYNTHESIS AND ANTIMICROBIAL ACTIVITY OF DERIVATIVES OF 4-R-BENZYL PYRROL-3-CARBOXYLIC ACID ESTERS

R.L. Martyak ^{a,*}, A.M. Grozav ^b, N.D. Yakovychuk ^b, V.V. Kinzhbalo ^c, V.S. Matyichuk ^a

^a Ivan Franko National University of Lviv, Lviv, Ukraine

^b Bukovinian State Medical University, Chernivtsi, Ukraine

^c Institute of Low Temperature and Structure Research, Polish Academy of Science, Wroclaw, Poland

* e-mail: martyak@ukr.net

By the reaction of 3-aryl-2-chloropropanals (Ia–d) with β -ketoesters (methyl- and ethyl-acetoacetates, benzoylacetic acid ethyl ester) and ammonia, 4-benzylsubstituted pyrroles (IIIa–f) were synthesized. They were transformed into the corresponding 4-R-benzyl-5-formyl-1H-pyrrol-3-carboxylates (IVa–e) by the Wilmsmeier-Haack reaction. The products of condensation of these aldehydes with thiosemicarbazides and compounds containing active methylene groups (methyl- and ethylcyanoacetates, malonodinitrile, cyanoacetamide, cyanothioacetamide, 5-methyl-2,4-dihydro-pyrazol-3-one and dimidone) were prepared. The structure of all compounds was determined by ¹H NMR spectroscopy. The molecular structure of compound (XIIb) was also confirmed by X-ray diffraction studies. The results of microbiological studies indicated high activity of the synthesized substances in relation to the reference strain of the *Candida krusei* ATCC 6258 fungus, in particular, the MFC for compounds (IIIId), (Xb), (XIV) is 7.81 μ g mL⁻¹, which is equivalent to the MFC of the antifungal agent of bifonazole. The obtained results are important for the search for lead compounds to design new antifungal drugs.

Keywords: 3-aryl-2-chloropropanals; Hantzsch pyrrole synthesis; Vilsmeier-Haack reaction; pyrrol-3-carboxylic acid esters; antimicrobial activity.

REFERENCES

1. Matyichuk V.S., Martyak R.L., Obushak N.D., Ostapiuk Yu.V., Pidlypnyi N.I. 3-Aryl-2-chloropropanals in Hantzsch synthesis of pyrroles. *Chemistry of Heterocyclic Compounds*, 2004, vol. 40, pp. 1218-1219.
2. Martyak R., Frolov D., Matyichuk V., Obushak M. Synthesis and antitumor activity of 4-benzylpyrrole derivatives. *Visnyk Lviv's'kogo Universytetu. Seriya Khimiya*, 2018, no. 59(2), pp. 276-285. (in Ukrainian).

3. Obushak N.D., Matiichuk V.S., Vasyllyshin R.Ya., Ostapuk Yu.V. Heterocyclic syntheses on the basis of arylation products of unsaturated compounds: X. 3-aryl-2-chloropropanals as reagents for the synthesis of 2-amino-1,3-thiazole derivatives. *Russian Journal of Organic Chemistry*, 2004, vol. 40, pp. 383-389.
4. Ostapiuk Y.V., Obushak M.D., Matiychuk V.S., Naskrent M., Gzella A.K. A convenient method for the synthesis of 2-[(5-benzyl-1,3-thiazol-2-yl)imino]-1,3-thiazolidin-4-one derivatives. *Tetrahedron Letters*, 2012, vol. 53, pp. 543-545.
5. Pokhodyo N.T., Savka R.D., Matiichuk V.S., Obushak N.D. Synthesis and selected transformations of 1-(5-methyl-1-aryl-1H-1,2,3-triazol-4-yl)ethanones and 1-[4-(4-R-5-methyl-1H-1,2,3-triazol-1-yl)phenyl]ethanones. *Russian Journal of General Chemistry*, 2009, vol. 79, article no. 309.
6. Pokhodyo N.T., Matiychuk V.S., Obushak M.D. Synthesis of ethyl 4,5-disubstituted 2-azido-3-thiophenecarboxylates and use in the synthesis of thieno[3,2-e][1,2,3]-triazolo[1,5-a]pyrimidin-5(4H)-ones. *Tetrahedron*, 2009, vol. 65, pp. 2678-2683.
7. Gorak Yu.I., Obushak N.D., Matiichuk V.S., Lytvyn R.Z. Synthesis of heterocycles from arylation products of unsaturated compounds: XVIII. 5-Arylfuran-2-carboxylic acids and their application in the synthesis of 1,2,4-thiadiazole, 1,3,4-oxadiazole, and [1,2,4]triazolo[3,4-b][1,3,4]thiadiazole derivatives. *Russian Journal of Organic Chemistry*, 2009, vol. 45, pp. 541-550.
8. Matiichuk V.S., Potopnyk M.A., Obushak N.D. Molecular design of pyrazolo[3,4-d]pyridazines. *Russian Journal of Organic Chemistry*, 2008, vol. 44, pp. 1352-1361.
9. Bemis G.W., Murcko M.A. The properties of known drugs. I. Molecular frameworks. *Journal of Medicinal Chemistry*, 1996, vol. 39, pp. 2887-2893.
10. Mohamed M.S., Fathallah S.S. Pyrroles and fused pyrroles: synthesis and therapeutic activities. *Mini-Reviews in Organic Chemistry*, 2014, vol. 11, pp. 477-507.
11. Kaur R., Rani V., Abbot V., Kapoor Y., Konar D., Kumar K. Recent synthetic and medicinal perspectives of pyrroles: an overview. *Journal of Pharmaceutical Chemistry & Chemical Science*, 2017, vol. 1, no. 1, pp. 17-32.
12. Bhardwaj V., Gumber D., Abbot V., Dhiman S., Sharma P. Pyrrole: a resourceful small molecule in key medicinal hetero-aromatics. *RSC Advances*, 2015, vol. 5, pp. 15233-15266.
13. Quindos G., Marcos-Arias C., San-Millan R., Mateo E., Eraso E. The continuous changes in the aetiology and epidemiology of invasive candidiasis: from familiar *Candida albicans* to multiresistant *Candida auris*. *International Microbiology*, 2018, vol. 21, pp. 107-119.
14. Yakovychuk N.D., Deyneka S.Y., Grozav A.M., Humenna A.V., Popovych V.B., Djuriak V.S. Antifungal activity of 5-(2-nitrovinyl) imidazoles and their derivatives against the causative agents of vulvovaginal candidiasis. *Regulatory Mechanisms in Biosystems*, 2018, vol. 9, no. 3, pp. 369-373.